

رفتار نابهنجار موج تخت در نزدیکی نقطه‌ی کانون

e_karimi@uok.ac.ir

ابراهیم کریمی^۱

در این مقاله، توزیع شدت و فاز مریبوط به یک موج تخت تکفام که به وسیله‌ی یک روزنیه‌ی دایره‌ای پراشیده شده است را در اطراف نقطه‌ی کانون بررسی می‌کیم و دامنه‌ی این موج را با استفاده از انتگرال هویگنس [a] – فرنل [b] بدون در نظر گرفتن ابیراهی به دست آورده و پرینده‌ای توزیع شدت و فاز را در نزدیکی نقطه‌ی کانون رسم کرده ایم. در نهایت با تعریف نقطه‌ی تکین فازی به بررسی رفتار یک موج غیر تکفام (ترجیح‌باً توزیع فرکانسی گاوی) حول نقطه‌ی تکین فازی می‌پردازیم.

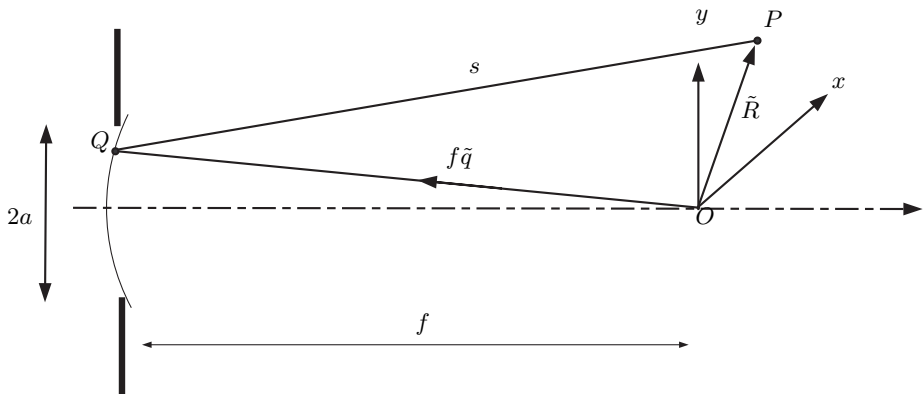
واژه‌های کلیدی: پراش، نقطه‌ی تکین فازی، تعدیل کننده‌ی طیف.

۱ مقدمه

فیزیک پیشه‌ها معمولاً به بررسی ی شدت و تغییرات آن می‌پردازند و کمتر به بررسی ی کمیت‌های اپتیکی در نقاطی که در آن‌ها شدت صفر است توجه می‌کنند. در اطراف نقاطی که شدت در آن‌ها صفر است، کمیت‌های اپتیکی رفتارهای جالبی دارند. به عنوان مثال: طیف، قطبش و تکانه‌ی زاویه‌ای نور در این نقاط تغییرات ناگهانی خواهند داشت [1].

برا ی درک اولیه‌ی مسئله مثالی را مطرح می‌کنیم؛ روی کره‌ی زمین برا ی هر نصف‌النهار یک ساعت محلی تعریف می‌شود و در کل 24 نصف‌النهار معادل با طول مدت شبانه‌روز برا ی کره‌ی زمین تعریف می‌شود. حال یک ی از نقاط تلاقی‌ی این 24 نصف‌النهار را (قطب شمال یا جنوب) در نظر بگیرید. برا ی این نقاط نمی‌توان یک ساعت محلی ی مشخص تعریف کرد ولی در نزدیکی ی این نقاط با یک جایه‌جایی کوچک، ساعت محلی به اندازه‌ای قابل توجه تغییر می‌کند. این نقاط را می‌توان نقاط تکین نامید، زیرا برای این نقاط نمی‌توان ساعت محلی ی مشخصی را تعریف نمود.

^۱ سنترج – دانش‌گاه کردستان، دانش‌کده‌ی علوم، گروه فیزیک.



شکل ۱: نمای موج پراشیده شده از روزنی ی دایره ای در شکل بالا نشان داده شده، Q نقطه ای روی جبهه ی موج، P نقطه ی مشاهده و O کانون است.

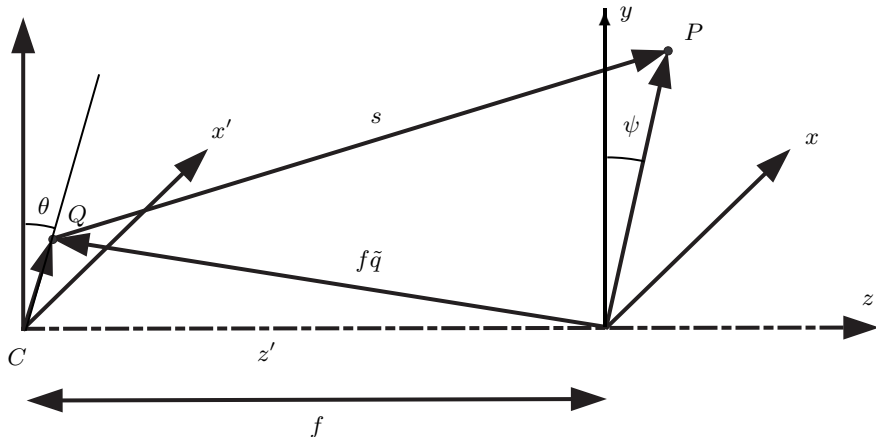
بررسی ی کمیت های اپتیکی در نزدیکی ی نقاط تکین فازی شاخه ای جدید از علم اپتیک را به وجود آورده که در سال های اخیر مورد توجه فیزیک پیشه ها قرار گرفته است [1]. در سال های اخیر چندین مقاله ی متفاوت در همین زمینه ارائه شده است که این امر ما را واداشت تا به بررسی این مسئله و تابعی این کارها بپردازیم [2-3].

در این مقاله به بررسی توزیع شدت و فاز در اطراف نقطه ی کانونی (و نقاط تکین فازی) یک موج تخت پراشیده شده از یک روزنی ی دایره ای می پردازیم. موج تکفam تختی را در نظر بگیرید که از یک روزنی ی دایره ای به شعاع a پراشیده شده و در نقطه ای مانند O کانونی می شود. موج پراشیده شده به صورت قطار موجی (کروی) است که در نقطه ی O کانونی می شود. دامنه ی موج پراشیده شده در نقطه ی P ، که به وسیله ی بردار \tilde{R} نسبت به نقطه ی کانون O مشخص می شود، با استفاده از اصل هویگنس [a]-فرنل [b] در تقریب پیرامحوری برابر خواهد بود با [4]:

$$U(P) = -\frac{i}{\lambda} \frac{A e^{-ikf}}{f} \iint_{\Sigma} \frac{e^{iks}}{s} d\sigma. \quad (1)$$

که در آن f فاصله ی نقطه ی کانون تا مکان روزنی، s فاصله ی نقطه ی مشاهده تا نقطه ای روی جبهه ی موج Q ، $\frac{A}{f}$ دامنه ی موج فرودی در نقطه ی Q ، k و λ به ترتیب عدد و طول موج فرودی و $d\sigma$ المان سطح روزنی است (شکل ۱).

به منظور محاسبه ی انتگرال رابطه ی (1) مبداء مختصات دکارتی را در نقطه ی O در نظر



شکل ۲: z محور - اپتیکی، xyz صفحه ی تصویر و $x'y'z'$ صفحه ی روزنه هستند [4].

می گیریم به گونه ای که محور z ها در راستای انتشار موج - اولیه (عمود بر صفحه ی روزنه) - همان محور - اپتیکی سیستم - قرار گیرد.

مختصات نقطه P و Q برابر است با (شکل ۲):

$$P \begin{cases} x = r \sin \psi \\ y = r \cos \psi \\ z = z \end{cases} \quad Q \begin{cases} x' = \rho \sin \theta \\ y' = \rho \sin \theta \\ z' = -\sqrt{f^2 - (a\rho)^2}. \end{cases} \quad (2)$$

که در آن ρ پارامتر مقیاس - روزنه ی دایره ای، r فاصله ی نقطه ی P از کانون و بنابر تقارن - استوانه ای مسئله زوایای سمتی ψ و θ برای نقاط P و Q نسبت به محور y ها تعریف شده است [4]. همان طور که گفته شد مسئله را در تقریب - پیرا محوری بررسی می کنیم. تحت این شرط می توان از تغییرات عامل - فرد صرف نظر کرد، در نتیجه با تقریب - خوبی داریم:

$$\begin{aligned} s - f &\simeq -\tilde{q} \cdot \tilde{R}, \\ &= -\frac{x x' + y y' + z z'}{f}. \end{aligned} \quad (3)$$

که در آن \tilde{q} بردار - یکه در راستای OQ است. با جای گذاری رابطه ی (2) در (3) بدست خواهیم آورد:

$$s - f = -\frac{a \rho r \cos(\theta - \psi)}{f} - z \left(1 - \frac{1}{2} \left(\frac{a\rho}{f} \right)^2 + \dots \right). \quad (4)$$

با تعریف پارامترهای بی بعد زیر²

$$\begin{cases} u := \frac{2\pi}{\lambda} \left(\frac{a}{f}\right)^2 z \\ v := \frac{2\pi}{\lambda} \left(\frac{a}{f}\right) r \end{cases}. \quad (5)$$

و استفاده از این واقعیت که $(f \gg a \gg \lambda)$ ، رابطه‌ی تقریبی (4) به صورت زیر درخواهد آمد:

$$k(s - f) = -v \rho \cos(\theta - \psi) + \left(\frac{f}{a}\right)^2 u - \frac{1}{2} u \rho^2. \quad (6)$$

که در آن از توان‌های دوم به بعد $\frac{a\rho}{f}$ صرف‌نظر کرده‌ایم. بنابراین رابطه‌ی (1) به صورت زیر ساده خواهد شد³:

$$U(P) = -\frac{i}{\lambda} \frac{a^2 A}{f^2} e^{i\left(\frac{f}{a}\right)^2 u} \int_0^1 \int_0^{2\pi} e^{-i(v \rho \cos(\theta - \psi) + \frac{1}{2} u \rho^2)} \rho d\rho d\theta. \quad (7)$$

با انتگرال گیری نسبت به θ خواهیم داشت:

$$U(P) = -\frac{2\pi a^2 A i}{\lambda f^2} e^{i\left(\frac{f}{a}\right)^2 u} \int_0^1 J_0(v \rho) e^{-\frac{i}{2} u \rho^2} \rho d\rho. \quad (8)$$

که در آن $J_0(v \rho)$ تابع بسیل مرتبه‌ی صفرم است [5]. به تراست رابطه‌ی بالا را به شکل زیر بنویسیم:

$$U(P) = \frac{\pi a^2 A}{\lambda f^2} e^{i\left(-\frac{\pi}{2} + \left(\frac{f}{a}\right)^2 u\right)} [C(v, u) - i S(v, u)]. \quad (9)$$

که در آن $C(v, u)$ و $S(v, u)$ به صورت زیر تعریف شده‌اند:

$$\begin{aligned} C(v, u) &:= 2 \int_0^1 J_0(v \rho) \cos\left(\frac{1}{2} u \rho^2\right) \rho d\rho, \\ S(v, u) &:= 2 \int_0^1 J_0(v \rho) \sin\left(\frac{1}{2} u \rho^2\right) \rho d\rho. \end{aligned} \quad (10)$$

عبارت‌های بالا را می‌توان بر حسب توابع لومل [i] بیان نمود [5].

2 توزیع‌شده در نزدیکی کانون

در بخش قبل دامنه‌ی موج پراشیده شده در نزدیکی نقطه‌ی کانون را بدست آوردیم (رابطه‌ی (8)). شده در نزدیکی نقطه‌ی کانون برابر است با:

² این پارامترها همراه با مکان نقطه‌ی مشاهده را به طور کامل (منحصر به فرد) مشخص خواهند نمود،

اما چون مسئله دارای تقارن استوانه‌ای است نقش ψ زیاد مهم نیست.

³ المان سطح $d\sigma$ ، به صورت $d\rho d(a\rho) d\theta$ نوشته شده است.

$$I = \|U(P)\|^2, \\ \propto M(v, u; \lambda). \quad (11)$$

که در آن $M(v, u; \lambda)$ تابع تغییر کننده (ی طیف) است.

$$M(v, u; \lambda) := \left\| \frac{1}{\lambda} \int_0^1 J_0(v\rho) e^{-\frac{i}{2}u\rho^2} \rho d\rho \right\|^2, \\ = \frac{1}{\lambda^2} [C^2(v, u) + S^2(v, u)]. \quad (12)$$

2.1 توزیع شدت در صفحه ی کانون

برای نقاطی که در صفحه ی کانون قرار دارند می‌توان توزیع شدت را به صورت زیر ساده نمود:

$$I(v, 0) = \left[\frac{2J_1(v)}{v} \right]^2 I_0. \quad (13)$$

که در آن $I_0 = \frac{\pi^2 \|A\|^2}{\lambda f^2}$ و $J_1(v)$ تابع بسل مرتبه ی اول است. این همان نتیجه ای است که در مورد پراش فرانهوفر [۳] از روزنه ی دایره ای بدست می‌آمد و مکان حلقه های تاریک ایری [۴] را مشخص می‌کند.

2.2 توزیع شدت در راستای محور اپتیکی

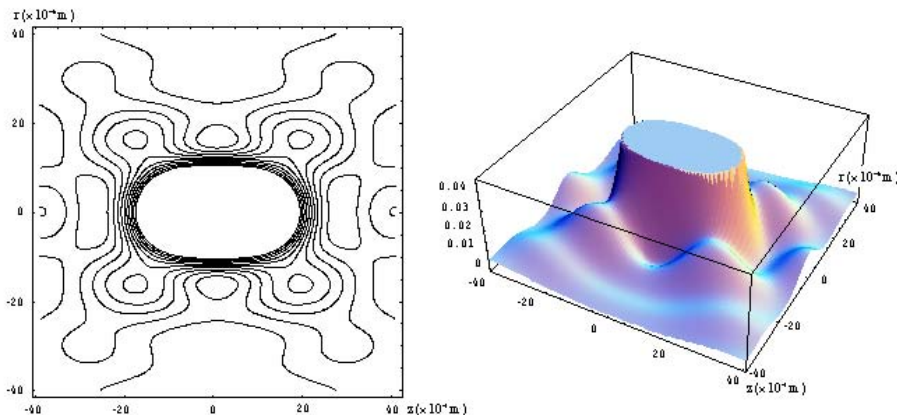
برای نقاطی که در راستای محور اپتیکی قرار دارند $v = 0$ است، اگر رابطه ی (11) را ساده کنیم توزیع شدت به صورت زیر در خواهد آمد:

$$I(0, u) = \left[\frac{\sin(\frac{u}{4})}{(\frac{u}{4})} \right]^2 I_0. \quad (14)$$

برطبق رابطه ی (14) در نقاطی در راستای محور اپتیکی شدت صفر خواهد شد که فاصله ی اولین صفر از مکان نقطه ی کانون برابر است با:

$$z_0 \simeq \pm \frac{1}{2} \left(\frac{f}{a} \right)^2 \lambda. \quad (15)$$

در شکل ۳ پربند های شدت ثابت در حوالی نقطه ی کانون رسم شده، که نتایج بالا در آن ها کاملاً مشهود است.



شکل ۳: شکل سمت چپ پربند های شدت ثابت را نشان می دهد برای اینکه درک به تری از اندازه ی شدت داشته باشد، اندازه ی آن را برای همین حالت در سمت راست رسم کرده ایم (این محاسبه ها به طور عددی و به وسیله ی نرم افزار Mathematica انجام شده است)، این شکل ها به ازای $\lambda = 5.14 \times 10^{-5} \text{ cm}$, $a = 0.1 \text{ cm}$, $f = 5.2 \text{ cm}$ رسم شده اند.

3 رفتار فاز در نزدیکی کانون

توزیع فاز در نزدیکی نقطه ی کانون برای یک موج پراشیده شده از یک روزنه ی دایره ای بر اساس رابطه ی (9) برابر است با:

$$\varphi = \left(\frac{f}{a} \right)^2 u - \chi(v, u) - \frac{\pi}{2} \quad \text{Mod } 2\pi. \quad (16)$$

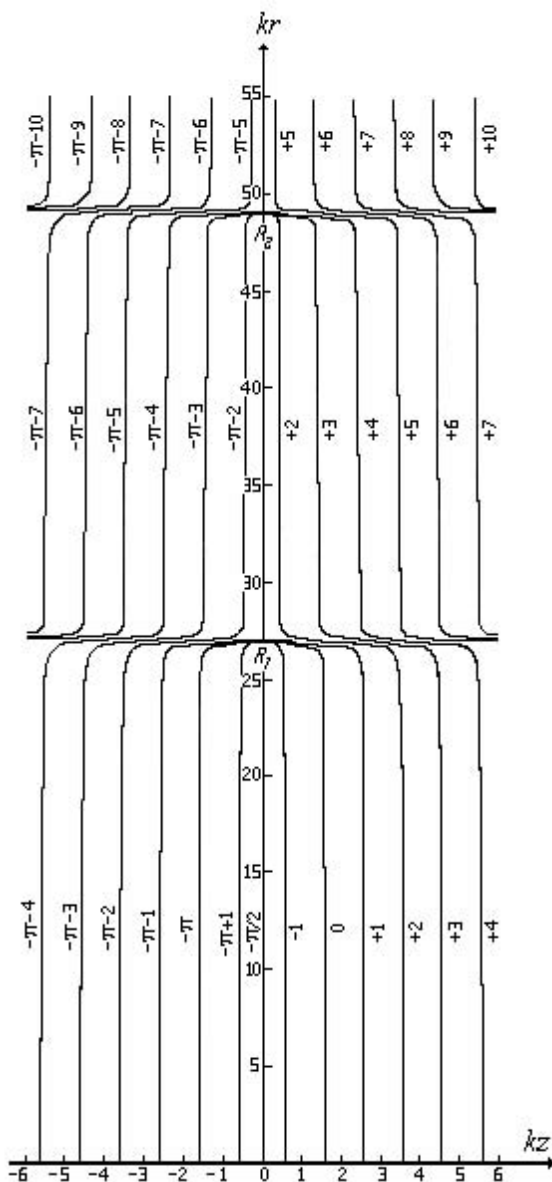
که در آن

$$\chi(v, u) := \arctan \left(\frac{S(v, u)}{C(v, u)} \right). \quad (17)$$

است. توزیع شدت، رابطه ی (12)، تنها به v و u وابسته بود اما رابطه ی (16) نشان می دهد که فاز برخلاف شدت نه تنها به v و u بلکه به هندسه ی پراش نیز وابسته است. فاز در نقطه ی کانون برابر $-\frac{\pi}{2}$ است. با استفاده از تقارن در روابط (10) داریم:

$$\varphi(v, u) + \varphi(v, -u) = -\pi. \quad (18)$$

یعنی تصویر هر سطح فاز ثابت ϕ_0 در صفحه ی کانون، یک سطح فاز ثابت $\phi_0 - \pi$ است. در شکل ۴ پربند های فاز ثابت در نزدیکی نقطه ی کانون رسم شده است.



شکل ۴. سطوح فاز ثابت در شکل مشخص شده اند همان گونه که مشخص است این سطوح در دو مکان تغییرات شدیدی از خود نشان می‌دهند، که این مکان‌ها همان مکان حلقه‌های تاریک ایری $[k]$ می‌باشد. صفحه‌ی فاز ثابت $(\pi + 4) -$ را در نظر بگیرید، این صفحه در اولین حلقه‌ی تاریک ایری $[k]$ یک جهش ناگهانی دارد و در دومین حلقه‌ی تاریک باز به همین شکل. به گونه‌ای که نمی‌توان این سطح را بعد از حلقه‌ی تاریک دوم دنبال کرد [6]. (این شکل به ازای $f = 10 \text{ cm}$, $\lambda = 5 \times 10^{-5} \text{ cm}$, $a = 2.5 \text{ cm}$ رسم شده است.)

به نظر می‌رسد که با نزدیک شدن - موج به کانون، سطوح - فاز ثابت تقریباً تخت هستند. شدت روی - سطح‌های فاز ثابت، یکنواخت نیست بلکه ممکن است تغییر کند⁴. در مکان - حلقه‌های تاریک - ایری [k]، فاز تغییرات - شدیدی خواهد داشت و مقدار - این فاز در این مکان نامشخص است که این نقاط را تکین - فازی⁵ می‌نامند.

3.1 نابهنجاری - فاز⁶

رفتار - موج - پراشیده شده به گونه‌ای است که در فواصل - خیلی دور (در سمت - چپ $u < 0$) شبیه به قطاری موج - کروی است که به سمت - نقطه‌ی کانون جمع می‌شود و سپس در سمت - راست ($u > 0$) شبیه قطار - موج - کروی است که از نقطه‌ی کانون دور می‌شوند. همین شباهت باعث می‌شود تا فاز - این موج - پراشیده شده را نسبت به فاز - یک موج - کروی بسنجمیم.
فاز - موج - کروی را به شکل - زیر می‌توان نوشت:

$$\tilde{\varphi}(v, u) := \begin{cases} -kR & u \leq 0 \\ +kR & u \geq 0 \end{cases}. \quad (19)$$

«نابهنجاری - فاز» را به شکل - زیر تعریف می‌کنیم:

$$\delta := \varphi(v, u) + \tilde{\varphi}(v, u). \quad (20)$$

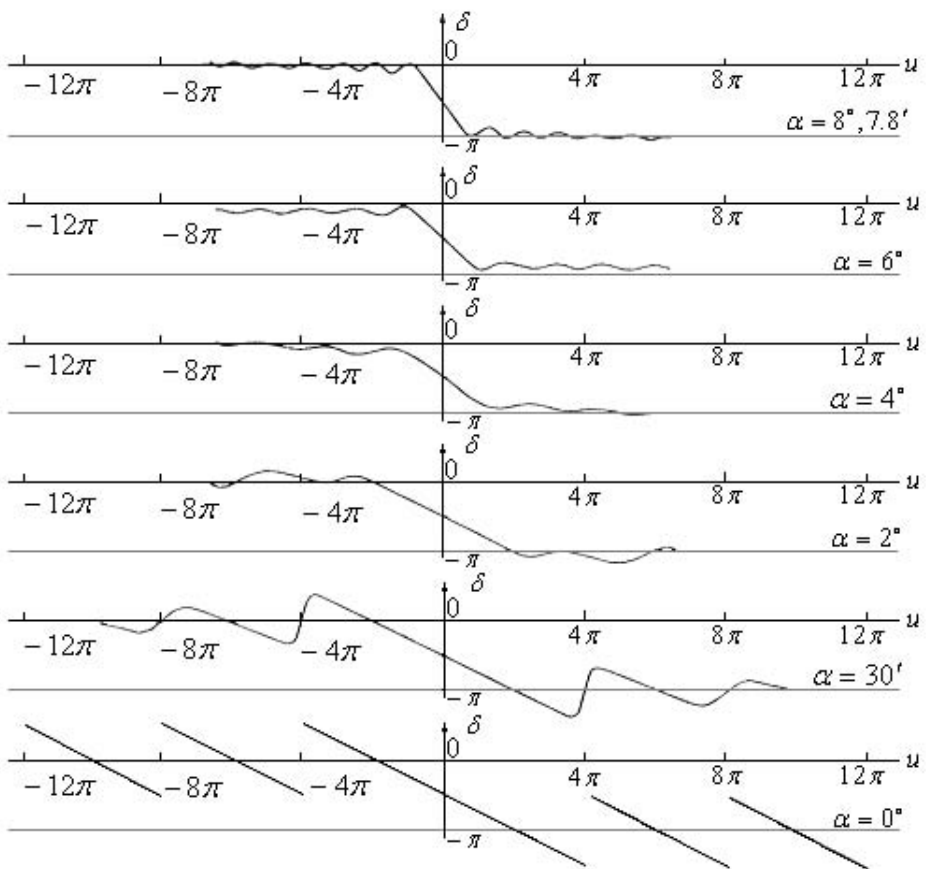
کاملاً واضح است که «نابهنجاری - فاز» در کانون برابر $\frac{\pi}{2}$ - است. در شکل - ۵ رفتار - «نابهنجاری - فاز» را به ازای - باریکه هایی که تحت - زاویه‌های مختلفی از کانون می‌گذرند رسم شده اند. این شکل‌ها نشان می‌دهد که در عبور از کانون در راستای هر باریکه مقدار - δ به طور - پیوسته و ناگهانی به اندازه π تغییر می‌کند، این اثر اولین بار توسط - گوی [c] مشاهده شد [4]. اما در راستای محور - اپتیکی «نابهنجاری - فاز» رفتاری تکین⁷ دارد و به طور - دوره ای بین - مقدار - ۰ و π - تغییر می‌کند.

⁴ به مکان - حلقه‌های تاریک - ایری [k] توجه کنید.

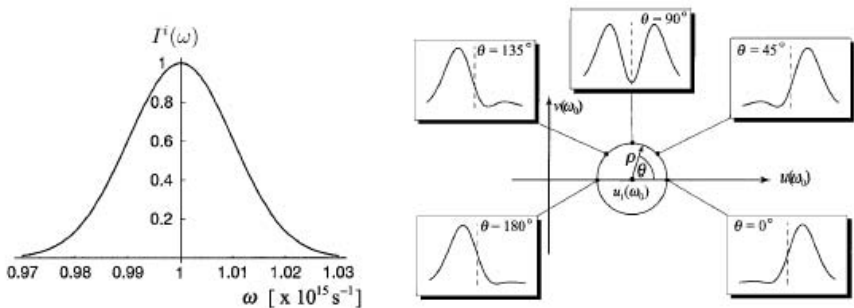
⁵ این تعریف در بخش - بعد اساسی است.

⁶ Phase Anomaly

⁷ این نقاط هم تکین - فازی نامیده می‌شوند، زیرا در این نقاط شدت - نور صفر است و فاز مقداری نامشخص دارد.



شکل ۵: رفتار «تابهنجاری - فاز» در طول باریکه هایی که از کانون عبور می کنند رسم شده است. α زاویه ی شبب باریکه را نسبت به محور اپتیکی نشان می دهد [4,6]. این شکل به ازای $\lambda = 5 \times 10^{-5} \text{ cm}$, $a = 2.5 \text{ cm}$, $f = 10 \text{ cm}$ رسم شده است.



شکل ۶: شکل - سمت - چپ تابع - توزیع - فرکانسی - موج - فرودی (یا طیف - موج - فرودی) را نشان می دهد که به (1) بهنجار شده است. شکل - سمت - راست طیف - موج - پراشیده شده تحت - زوایای - خاص حول - یک نقطه ی تکین را نشان می دهد [2]. کاملاً مشخص است که این طیف از شکل - اولیه ی خود (که گاووسی است) خارج می شود و در نواحی از فضای طیف به سمت - آبی انتقال پیدا می کند (انتقال به آبی) و در نواحی دیگر از فضای طیف به سمت - قرمز انتقال پیدا می کند (انتقال به قرمز) و در ناحیه ای از فضای فرکانس - مرکزی حذف می شود.

4 نابهنجاری - طیف در نزدیکی - نقطه ی تکین - فازی

همان طور که در بخش - قبل گفته شد، نقاطی که در آن ها دامنه ی میدان صفر است، فاز تکینه گی دارد یعنی در آن نقاط اندازه ی فاز کاملاً نامشخص است. پدیده های مربوط به تکینه گی های فازی در یک شاخه ی جدید از فیزیک به نام - «اپتیک - تکینه گی» در حال - توسعه است [1]. در این مرحله ما رفتار - طیفی گاووسی را در نزدیکی - یک نقطه ی تکین - فازی بررسی می کنیم [2,3]. فرض می کنیم که در معادله ی (1) موج - فرودی دارای - پهنای - فرکانسی باشد. به گونه ای که تابع - توزیع - فرکانس - گاووسی باشد:

$$A := A(\omega), \\ = A_0 e^{-\frac{(\omega-\omega_0)^2}{\sigma^2}}. \quad (21)$$

که در آن ω_0 فرکانس - مرکزی و σ انحراف معیار - این تابع است. در نتیجه شدت - نور - پراشیده شده در نقطه ی P برابر خواهد بود با:

$$I(v, u; \omega) = I^i(\omega) M(v, u; \omega). \quad (22)$$

که در آن $M(v, u; \omega)$ همان تابع تعدلیل کننده (ی طیف) است، این تابع نشان می دهد که شدت طیف ورودی ($I^i(\omega)$) چگونه توسط پراش، تغیر می کند. وابسته گی تابع تعدلیل کننده ی طیف به v و u نشان می دهد که طیف میدان در ناحیه ی نزدیک کانون در نقاط مختلف متفاوت خواهد بود، همچنین این طیف ها با طیف میدان ورودی فرق خواهد داشت. شکل این طیف به ازای مکان های مختلف حول نقطه ی تکین فازی در شکل ۶ رسم شده است.

5 مرجع ها

- [1] For a review of singular optics see, for example, M. S. Soskin and M. V. Vasnetsov, Singular optics, in *Progress in Optics*, E. Wolf, ed. (Elsevier, Amsterdam, 2001), Vol. 42, pp. 219-276.
- [2] G. Gbur, T.D. Visser, and E. Wolf, *Physical Review Letters* **88**, (2002) 013901.
- [3] G. Popescu and A. Dogariu, *Physical Review Letters* **88**, (2002) 183902.
- [4] M. Born and E. Wolf, *Principles of Optics*, (Cambridge University Press, 2nd Edition), (1998), Chapter 8, pp 436.
- [5] I. S. Gradshteyn and I. M. Ryzhik, *Table of Integrals, Series, and Products* 6th Edition, p.937.
- [6] E. H. Linfoot and E. Wolf, *Proceedings of the Physical Society, Section B*, **69** (1956), 823.

اسم های خاص

- a] Huygens, b] Fresnel, c] Gouy, d] Walker, e] Riche, f] Linfoot, g] Wolf, h] Carter, i] Lommel, j] Franhofer, k] Airy.